

เอกสารแทน หนังสือตอบรับการนำเสนอผลงานวิจัยอย่างเป็นทางการ

06:10

Facebook



[ncce28] แจ้งผลการพิจารณา

บทความ ID#1994



ภายนอก

กล่องจดหมาย



ศศ.ดร.วิชัยรัตน์ แก้วเจือ via ร... 20 เม.ย.



ถึง กัน v

เรียน ทวิช กล้าแท้

ตามที่มหาวิทยาลัยสงขลานครินทร์ โดย สาขาวิชา  
วิศวกรรมโยธาและสิ่งแวดล้อม คณะวิศวกรรมศาสตร์ ร่วม  
กับวิศวกรรมสถานแห่งประเทศไทย จัดการประชุมวิชาการวิ  
ิศวกรรมโยธาแห่งชาติ ครั้งที่ 28 (The 28th National  
Convention on Civil Engineering) ในหัวข้อ "ความ  
ท้าทายด้านวิศวกรรมโยธาหลังการระบาดใหญ่" ("Post-  
Pandemic Challenges in Civil Engineering") ระหว่าง  
วันที่ 24 - 26 พฤษภาคม 2566 ณ โรงแรมภูเก็ต เกรซ  
แลนด์ รีสอร์ท แอนด์ สปา, จังหวัดภูเก็ต นั้น

บัดนี้กองบรรณาธิการได้สรุปผลการประเมินบทความของท  
านจากผู้ทรงคุณวุฒิ และได้พิจารณาตัดสินบทความของท  
าน เรื่อง "กำลังอัดของซีเมนต์มอร์ตาร์ผสมเถ้าปาล์มน้ำมัน  
ในปริมาณสูง" โดยมีผลการพิจารณา ดังนี้

ผลการพิจารณาบทความคือ : ตอรับบทความ  
(Submission Accepted)

ขอให้ท่านชำระค่าลงทะเบียน ตามรายละเอียดในลิงค์นี้  
[https://conference.thaince.org/index.php/ncce28/  
registration](https://conference.thaince.org/index.php/ncce28/registration)





NCCCE 28  
Post-Pandemic Challenges in Civil Engineering

**การประชุมวิชาการ**  
**วิศวกรรมโยธาแห่งชาติ ครั้งที่ 28**

วันที่ 24 - 26 พฤษภาคม 2566  
ณ โรงแรมภูเก็ต เกรซแลนด์ รีสอร์ท แอนด์ สปา, จังหวัดภูเก็ต

รายงานคณะกรรมการอำนวยการและคณะกรรมการดำเนินงาน

คณะกรรมการอำนวยการ

ผ.ศ.ดร.ปัทมา	สุวรรฉรร	ประธานกรรมการ
ร.ศ.ดร.ธนียา	เกาศล	รองประธานกรรมการ
ผ.ศ.สิทธิชัย	พิริยคุณธร	ที่ปรึกษา
อาจารย์วิวัฒน์	สุทธิวิภากร	ที่ปรึกษา
ศ.ดร.พิชัย	ธานีรณานนท์	ที่ปรึกษา
ร.ศ.ดร.อุดมผล	พีชฌ์เพ็ญฉาย	ที่ปรึกษา
ร.ศ.ดร.อนิต	เฉลิมยานนท์	ที่ปรึกษา
ร.ศ.อนก	ศิริพานิชกร	ที่ปรึกษา
ดร.ทศพร	ศรีเอี่ยม	ที่ปรึกษา
ผ.ศ.พยอม	รัตนเมธี	กรรมการ
ร.ศ.ดร.มนตรี	กาญจนะเดชะ	กรรมการ
ร.ศ.ดร.ธีระยุทธ	หลัวิจิตร	กรรมการ
ผ.ศ.ดร.วิชัยรัตน์	แก้วเจือ	กรรมการ
ดร.สุวิยา	จิรสถิติน	กรรมการ
นางธัญญ์มรินทร์	ปิ่นท่อนาง	กรรมการ
นางสาวพรอัมไพ	โอชาพันธุ์	กรรมการ
นางสาวสุพิศ	นันทะสร	กรรมการและเลขานุการ

คณะกรรมการดำเนินงาน

ผ.ศ.ดร.วิชัยรัตน์	แก้วเจือ	ประธานกรรมการ
ร.ศ.ดร.ธนียา	เกาศล	รองประธานกรรมการ
ผ.ศ.สิทธิชัย	พิริยคุณธร	ที่ปรึกษา
อาจารย์วิวัฒน์	สุทธิวิภากร	ที่ปรึกษา
ร.ศ.ดร.ปัทมา	เทื่องเทพ	กรรมการ
ร.ศ.ดร.ชัชวีน	ศรีสุวรรณ	กรรมการ
ร.ศ.ดร.จรงค์พันธ์	มุสิกวงค์	กรรมการ
ผ.ศ.ดร.อรกมล	วังอสิทธิ	กรรมการ
ผ.ศ.ดร.จรัสรัตน์	สกุรัตน์	กรรมการ
ผ.ศ.พยอม	รัตนเมธี	กรรมการ
ผ.ศ.ดร.สุรางคณา	ดั่งคานนท์	กรรมการ
ผ.ศ.ดร.ธนนท์	ชูปอุปการ	กรรมการ
ผ.ศ.ดร.พงศ์อินทร์	อินทฤทธิ์	กรรมการ
ผ.ศ.ดร.สุชาติพิทย์	สินยัง	กรรมการ
ร.ศ.ดร.สรารัฐ	จิรฉาม	กรรมการ
ร.ศ.ดร.ปฐมเมธ	ผาณิตพจนาน	กรรมการ

รายงานคณะกรรมการอำนวยการและคณะกรรมการดำเนินงาน

นางสาวพรอัมไพ

นางธัญญ์มรินทร์	โอชาพันธุ์	กรรมการ
นางสาวเกสินี	ปิ่นท่อนาง	กรรมการ
นางผไทติมา	พัฒนพิศุทธิ์	กรรมการ
นางสาวสุพิศ	โปลิตะ	กรรมการ
	นันทะสร	กรรมการและเลขานุการ

คณะกรรมการฝ่ายวิชาการ

ร.ศ.ดร.ปฐมเมธ	เหลื่องเทพ	ประธานกรรมการ
ผ.ศ.ดร.อรกมล	วังอสิทธิ	รองประธานกรรมการ
ร.ศ.ดร.จรงค์พันธ์	มุสิกวงค์	รองประธานกรรมการ
อาจารย์วิวัฒน์	สุทธิวิภากร	ที่ปรึกษา
ผ.ศ.ดร.จรัสรัตน์	สกุรัตน์	กรรมการ
ร.ศ.ดร.ชัชวีน	ศรีสุวรรณ	กรรมการ
ร.ศ.ดร.ธนนท์	เฉลิมยานนท์	กรรมการ
ศ.ดร.สุชาติ	ลิมกัตถุญ	กรรมการ
ศ.ดร.สุนธ	ไชยประสิทธิ์	กรรมการ
ร.ศ.ดร.ปฐมเมธ	ผาณิตพจนาน	กรรมการ
ร.ศ.ดร.วรพจน์	ประชาเสรี	กรรมการ
ร.ศ.ดร.สรารัฐ	จิรฉาม	กรรมการ
ร.ศ.ดร.ธนียา	เกาศล	กรรมการ
ผ.ศ.ดร.สุรางคณา	ดั่งคานนท์	กรรมการ
ผ.ศ.ดร.วิชัยรัตน์	แก้วเจือ	กรรมการ
ผ.ศ.ดร.ธนนท์	ชูปอุปการ	กรรมการ
ผ.ศ.ดร.พงศ์อินทร์	อินทฤทธิ์	กรรมการ
ผ.ศ.ดร.ภัสกร	ชัยวิริยะวงศ์	กรรมการ
ผ.ศ.ดร.วัลลภา	คณคร	กรรมการ
ผ.ศ.ดร.สุชาติพิทย์	สินยัง	กรรมการ
ดร.เชาวนา	ยี่รงค์	กรรมการ
นางธัญญ์มรินทร์	ปิ่นท่อนาง	กรรมการ
นางผไทติมา	โปลิตะ	กรรมการ
นางสาวเกสินี	พัฒนพิศุทธิ์	กรรมการ
นางสาวพจนานทิ	ศิวดิณสุโก	กรรมการ
นายปิยะวัชร	จุงศิริ	กรรมการ
นายธวัช	วราไชย	กรรมการ
นายพงษ์พันธ์	จินตราช	กรรมการ
นายกฤษณะ	ศรีวัลย์	กรรมการ
นางสาวนภาพรรณ	ชวินทรสงขลา	กรรมการ

**รายงานคณะกรรมการดำเนินงาน**

นายวันชัย	แจ่มใส	กรรมการ
นางสาวสุพิศ	นงนุช	กรรมการและเลขานุการ
นางอมรรัตน์	หวลละลิตา	กรรมการและผู้ช่วยเลขานุการ
<b>คณะกรรมการฝ่ายเลขานุการ และประชาสัมพันธ์</b>		
ศ.ดร.จรีรัตน์	ถิษรัตน์	ประธานกรรมการ
ดร.ชวงนา	ยิ่งศักดิ์	รองประธานกรรมการ
นางสาวสุพิศ	จันทร์จุลจิเมศ	ที่ปรึกษา
ศ.ดร.วิไล	คณิศร	กรรมการ
ศ.ดร.พงศ์อินทร์	อินทฤทธิ์	กรรมการ
ศ.ดร.สุชาติพิชัย	สินยัง	กรรมการ
ศ.ดร.ธันนัท	ชอุบลการ	กรรมการ
ศ.ดร.อรกมล	วัชรวิทย์	กรรมการ
รศ.ดร.จรงค์พันธ์	มลิเกษวงศ์	กรรมการ
รศ.ดร.ธัญญา	เกาศติ	กรรมการ
นางสาวสุพิศ	ทองประไพ	กรรมการ
นางอมรรัตน์	นงนุช	กรรมการ
	หวลละลิตา	กรรมการและเลขานุการ

**คณะกรรมการฝ่ายงานพิธีกรรมและลงทะเบียน**

รศ.ดร.ชัชวัน	ศรีสุวรรณ	ประธานกรรมการ
ศ.ดร.พงศ์อินทร์	อินทฤทธิ์	รองประธานกรรมการ
ศ.ดร.วิไล	คณิศร	รองประธานกรรมการ
ศ.ดร.วิชัยรัตน์	แก้วเจือ	กรรมการ
รศ.ดร.ธัญญา	เกาศติ	กรรมการ
ศ.ดร.สุรางคณา	ตั้งคานนท์	กรรมการ
ศ.ดร.สุชาติพิชัย	สินยัง	กรรมการ
ดร.ชวงนา	ยิ่งศักดิ์	กรรมการ
นางอมรรัตน์	หวลละลิตา	กรรมการ
นางสาวสุพิศ	นงนุช	กรรมการ
นางสาวจิราพร	ชงโย	กรรมการ
นางชิตติยาภรณ์	เจริญวัฒน์อนันต์	กรรมการ
นางสาวกนกอร	โอบุรี	กรรมการ
นางสาวเพ็ญภา	ทองประไพ	กรรมการและเลขานุการ

**รายงานคณะกรรมการดำเนินงาน**

<b>คณะกรรมการฝ่ายบริหาร ภาวเงิน</b>		
ศ.ดร.สุรางคณา	ตั้งคานนท์	ประธานกรรมการ
ศ.ดร.สุชาติพิชัย	สินยัง	รองประธานกรรมการ
รศ.ดร.ธัญญา	เกาศติ	กรรมการ
ศ.ดร.วิชัยรัตน์	แก้วเจือ	กรรมการ
นางสาวพรอัมไพ	โอชาพันธุ์	กรรมการ
นางสาวสุพิศ	นงนุช	กรรมการและเลขานุการ
<b>คณะกรรมการฝ่ายสถานที่ อาคาร และรถรับส่ง</b>		
รศ.ดร.ปทุมมา	ผาณิตพจนาน	ประธานกรรมการ
ศ.ดร.ธันนัท	ชอุบลการ	รองประธานกรรมการ
ศ.ดร.พงศ์อินทร์	อินทฤทธิ์	กรรมการ
ศ.ดร.สุชาติพิชัย	สินยัง	กรรมการ
นายฉวีกร	ไชยวรรณ	กรรมการ
นายพลวัฒน์	คณิศร	กรรมการ
นายสิทธิพงษ์	สมคำ	กรรมการ
นางอมรรัตน์	หวลละลิตา	กรรมการ
นางสาวเพ็ญภา	ทองประไพ	กรรมการ
นายเนรท	จินดาเพชร	กรรมการ
นางสาววันทนา	ทพุมภ	กรรมการ
นายเอกวุฒิ	เอื้อบุญ	กรรมการ
นายเกศยา	วรรณศิริ	กรรมการ
นายบุญเลิศ	อินทฤทธิ์	กรรมการ
นายณรงค์	นุชจรัด	กรรมการ
นายชัยยุทธ	จุห้อง	กรรมการ
นายพงศธร	โชโต	กรรมการ
นายจันทน์	แก้วดี	กรรมการ
นายชัชชน	ทองชูพรพล	กรรมการและเลขานุการ

**คณะกรรมการฝ่ายจัดหาผู้สนับสนุนและเงินทุน**

ศ.พยอม	รัตนณี	ประธานกรรมการ
รศ.ดร.สุรางคณา	จรีตมา	รองประธานกรรมการ
ศ.ดร.สิทธิชัย	พิริยคุณธร	ที่ปรึกษา
นางสาวสุพิศ	จันทร์จุลจิเมศ	ที่ปรึกษา
รศ.ดร.ธีระยุทธ	ทวิจิตร์	กรรมการ
ศ.ดร.สุรางคณา	ตั้งคานนท์	กรรมการ
รศ.ดร.ธัญญา	เกาศติ	กรรมการ



คณะกรรมการกลางบริหารการจัดการประชุมวิชาการวิศวกรรมโยธาแห่งชาติ ครั้งที่ 28

ประจำปี พ.ศ. 2566

หัวหน้าสาขาวิศวกรรมโยธา	สำนักวิชาวิศวกรรมศาสตร์ มหาวิทยาลัยเทคโนโลยีสุรนารี
หัวหน้าสาขาวิศวกรรมขนส่ง	สำนักวิชาวิศวกรรมศาสตร์ มหาวิทยาลัยเทคโนโลยีสุรนารี
หัวหน้าภาควิศวกรรมโยธา	คณะวิศวกรรมศาสตร์ มหาวิทยาลัยธรรมศาสตร์
หัวหน้าภาควิศวกรรมโยธา	คณะวิศวกรรมศาสตร์ มหาวิทยาลัยบูรพา
หัวหน้าภาควิศวกรรมโยธา	คณะวิศวกรรมศาสตร์ มหาวิทยาลัยบูรพา
หัวหน้าภาควิชาวิศวกรรมโยธา	มหาวิทยาลัยภาคตะวันออกเฉียงเหนือ
หัวหน้าภาควิชาวิศวกรรมโยธาและสิ่งแวดล้อม	คณะวิศวกรรมศาสตร์ มหาวิทยาลัยมหิดล
หัวหน้าภาควิชาวิศวกรรมโยธาและสิ่งแวดล้อม	วิทยาลัยวิศวกรรมศาสตร์ มหาวิทยาลัยรังสิต
หัวหน้าภาควิชาวิศวกรรมโยธา	คณะวิศวกรรมศาสตร์ มหาวิทยาลัยรามคำแหง
หัวหน้าภาควิชาวิศวกรรมโยธา	คณะวิศวกรรมศาสตร์ มหาวิทยาลัยวงษ์ชวลิตกุล
คณบดีสำนักวิชาวิศวกรรมศาสตร์และสิ่งแวดล้อม	คณะวิศวกรรมศาสตร์ มหาวิทยาลัยลัยลักษณ์
หัวหน้าภาควิชาวิศวกรรมโยธาและสิ่งแวดล้อม	คณะวิศวกรรมศาสตร์ มหาวิทยาลัยศรีนครินทรวิโรฒ
หัวหน้าภาควิชาวิศวกรรมโยธา	คณะวิศวกรรมศาสตร์ มหาวิทยาลัยศรีปทุม
หัวหน้าสาขาวิชาวิศวกรรมโยธาและสิ่งแวดล้อม	คณะวิศวกรรมศาสตร์ มหาวิทยาลัยสงขลานครินทร์
หัวหน้าภาควิชาวิศวกรรมโยธา	คณะวิศวกรรมศาสตร์ มหาวิทยาลัยสยาม
หัวหน้าภาควิชาวิศวกรรมโยธา	คณะวิศวกรรมศาสตร์ มหาวิทยาลัยอุบลราชธานี
หัวหน้าสาขาวิชาวิศวกรรมโยธา	คณะวิศวกรรมศาสตร์ มหาวิทยาลัยเอเชียอาคเนย์
ผู้อำนวยการกองวิชาวิศวกรรมโยธา	ส่วนการศึกษา โรงเรียนนายร้อยพระจุลจอมเกล้า
หัวหน้าภาควิชาเทคโนโลยีวิศวกรรมโยธา	วิทยาลัยเทคโนโลยีอุตสาหกรรม
และสิ่งแวดล้อม	สถาบันเทคโนโลยีพระจอมเกล้าพระนครเหนือ
หัวหน้าภาควิชาวิศวกรรมและเทคโนโลยีโยธา	สถาบันเทคโนโลยีพระจอมเกล้าพระนครเหนือ
หัวหน้าภาควิชาวิศวกรรมโยธา	มหาวิทยาลัยธรรมศาสตร์ สถาบันเทคโนโลยีพระจอมเกล้าเจ้า
หัวหน้าภาควิชาวิศวกรรมโยธา	คุณทหารลาดกระบัง
หัวหน้าภาควิชาวิศวกรรมโยธา	คณะวิศวกรรมศาสตร์ สถาบันเทคโนโลยีพระจอมเกล้า
คณบดีคณะวิศวกรรมศาสตร์และเทคโนโลยีแห่งชาติ	พระนครเหนือ
หัวหน้าภาควิชาวิศวกรรมโยธา	คณบดีคณะวิศวกรรมศาสตร์และเทคโนโลยีแห่งชาติ
หัวหน้าภาควิชาวิศวกรรมโยธา	คณะวิศวกรรมศาสตร์ศรีราชา มหาวิทยาลัยเกษตรศาสตร์
หัวหน้าภาควิชาวิศวกรรมโยธาและสิ่งแวดล้อม	วิทยาเขตศรีราชา
ประธานหลักสูตรสาขาวิศวกรรมโยธา	คณะวิทยาศาสตร์และวิศวกรรมศาสตร์
	มหาวิทยาลัยเกษตรศาสตร์ วิทยาเขตเฉลิมพระเกียรติ
	คณะวิศวกรรมศาสตร์ มหาวิทยาลัยมหาสารคาม

คณะกรรมการกลางบริหารการจัดการประชุมวิชาการวิศวกรรมโยธาแห่งชาติ ครั้งที่ 28

ประจำปี พ.ศ. 2566

หัวหน้าภาควิชาวิศวกรรมโยธา	คณะครุศาสตร์อุตสาหกรรม มหาวิทยาลัยเทคโนโลยีพระ
หัวหน้าภาควิชาวิศวกรรมโยธา	จอมเกล้าพระนครเหนือ
หัวหน้าภาควิชาวิศวกรรมโยธา	กองการศึกษา
หัวหน้าภาควิชาวิศวกรรมโยธา	โรงเรียนนายร้อยอภิศึกษาคนมีนนทพรชัยราช
หัวหน้าภาควิชาวิศวกรรมโยธา	คณะวิศวกรรมศาสตร์
หัวหน้าภาควิชาวิศวกรรมโยธา	มหาวิทยาลัยเทคโนโลยีราชมงคลล้านนา
หัวหน้าภาควิชาวิศวกรรมโยธา	คณะเทคโนโลยีอุตสาหกรรม
หัวหน้าภาควิชาวิศวกรรมโยธา	มหาวิทยาลัยราชภัฏรำไพพรรณี
หัวหน้าภาควิชาวิศวกรรมโยธา	คณะวิศวกรรมศาสตร์
หัวหน้าภาควิชาวิศวกรรมโยธา	มหาวิทยาลัยเทคโนโลยีราชมงคลธัญบุรี
หัวหน้าภาควิชาวิศวกรรมโยธา	คณะวิศวกรรมศาสตร์
หัวหน้าภาควิชาวิศวกรรมโยธา	มหาวิทยาลัยเทคโนโลยีราชมงคลกรุงเทพ
หัวหน้าภาควิชาวิศวกรรมโยธา	คณะวิศวกรรมศาสตร์ มหาวิทยาลัยพะเยา
ประธานหลักสูตรวิศวกรรมศาสตรบัณฑิต	
สาขาวิชาวิศวกรรมโยธา	



## กำลังอัดของซีเมนต์มอร์ตาร์ผสมเถ้าปาล์มน้ำมันในปริมาณสูง Compressive Strength of Cement Mortar Containing High Volume Palm Oil Fuel Ash

นภดล ศรีภักดี<sup>1</sup> ทวิช กล้าแท้<sup>2,\*</sup> ชูเกียรติ ชูสกุล<sup>3</sup> สุพร ฤทธิภักดี<sup>4</sup> ประชุม คำพุ่ม<sup>5</sup> และ เซาฟิร ดือรามแม<sup>6</sup>

<sup>1, 2, 3, 4</sup> สาขาวิศวกรรม วิทยาลัยเทคโนโลยีอุตสาหกรรมและการจัดการ

มหาวิทยาลัยเทคโนโลยีราชมงคลศรีวิชัย จ. นครศรีธรรมราช

<sup>5</sup>ภาควิชาวิศวกรรมโยธา คณะวิศวกรรมศาสตร์ มหาวิทยาลัยเทคโนโลยีราชมงคลธัญบุรี จ.ปทุมธานี

<sup>6</sup>ภาควิชาวิศวกรรมโยธา คณะวิศวกรรมศาสตร์ มหาวิทยาลัยเทคโนโลยีราชมงคลกรุงเทพ กรุงเทพมหานคร

\*Corresponding author; E-mail address: tawich.k@rmutsv.ac.th

### บทคัดย่อ

งานวิจัยนี้มีวัตถุประสงค์เพื่อศึกษาผลกระทบของการใช้เถ้าปาล์ม น้ำมันบดละเอียด (GPOFA) แทนที่ปูนซีเมนต์ปอร์ตแลนด์ (OPC) ใน ปริมาณสูง ที่มีต่อกำลังอัดของซีเมนต์มอร์ตาร์ โดยนำเถ้าปาล์มน้ำมันจาก โรงงาน (OPOFA) มาบดละเอียดจนมีขนาดอนุภาคเฉลี่ย (Median particle size,  $d_{50}$ ) เท่ากับ 7.7 ไมโครเมตร แทนที่ OPC ที่ร้อยละ 0, 20, 50, 60 และ 70 โดยน้ำหนักวัสดุประสาน (CT, 20GPOFA, 50GPOFA, 60GPOFA และ 70GPOFA) กำหนดอัตราส่วนน้ำต่อวัสดุประสานจากค่า ปริมาณน้ำซึ่งทำให้เกิดค่าการไหลเฉลี่ย 110±5 ผลการทดสอบพบว่า ซีเมนต์มอร์ตาร์ 20GPOFA, 50GPOFA, 60GPOFA และ 70GPOFA สามารถพัฒนากำลังอัดที่อายุ 28 วัน เท่ากับ 33.4, 30.1, 23.9 และ 16.1 เมกะปาสคาล หรือคิดเป็นร้อยละ 86, 77, 61 และ 41 ของ CT ตามลำดับ สำหรับการประเมินต้นทุนการผลิต พบว่า ซีเมนต์มอร์ตาร์ที่แทนที่ OPC ด้วย GPOFA มีต้นทุนวัสดุลดลงร้อยละ 12 ถึง 42 ในขณะที่ผลกระทบต่อ สิ่งแวดล้อม พบว่าซีเมนต์มอร์ตาร์ 20GPOFA, 50GPOFA, 60GPOFA และ 70GPOFA มีการปล่อยก๊าซคาร์บอนไดออกไซด์ลดลงร้อยละ 16 ถึง 56 เมื่อเทียบกับ CT จากผลการทดสอบ สรุปได้ว่า GPOFA เป็นวัสดุพอซโซ ลานที่สามารถใช้แทนที่ OPC ได้ถึงร้อยละ 50 โดยน้ำหนักของวัสดุประสาน เพื่อผลิตเป็นวัสดุที่เป็นมิตรกับสิ่งแวดล้อม และสามารถลดต้นทุนในการ ผลิตลงได้ด้วย

คำสำคัญ: ซีเมนต์มอร์ตาร์, เถ้าปาล์มน้ำมัน, ปริมาณสูง, วัสดุที่เป็นมิตรกับ สิ่งแวดล้อม

### Abstract

This research aimed to investigate the effect of ground palm oil fuel ash (GPOFA) as high-volume cementitious material replacement on compressive strength of cement mortar. Palm oil fuel ash from factory (OPOFA) was ground until its median particle size ( $d_{50}$ ) was 7.7 microns. GPOFA was then used to

replace ordinary Portland cement (OPC) at 0, 20, 50, 60 and 70 wt% of binder (CT, 20GPOFA, 50GPOFA, 60GPOFA and 70GPOFA). The water-to-binder ratios were determine to achieve a flow valued of 110±5%. The results indicated that the 20GPOFA, 50GPOFA, 60GPOFA and 70GPOFA mortar had the compressive strengths at 28 days of 33.4, 30.1, 23.9 and 16.1 MPa or 86, 77, 61 and 41% of CT, respectively. In terms of the production cost, GPOFA cement mortar resulted in a reduction the material cost by 12–42%. However, environmental issues of 20GPOFA, 50GPOFA, 60GPOFA and 70GPOFA mortar showed a decrease in carbon dioxide emission of 16–56% as compared to CT mixture. Furthermore, GPOFA could be used as a good pozzolanic material to replace OPC by up to 50 wt% of binder for the production of eco-friendly materials as well as cost saving.

Keywords: Cement Mortar, Eco-friendly Materials, High Volume, Palm Oil Fuel Ash

### 1. คำนำ

อุตสาหกรรมพื้นฐาน เช่น ปูนซีเมนต์ เป็นอุตสาหกรรมหลักที่มีปริมาณ การใช้สูงในตลาดวัสดุก่อสร้าง และมีแนวโน้มขยายตัวตามสภาวะทาง เศรษฐกิจ อันมีปัจจัยขับเคลื่อนมาจากการลงทุนโครงสร้างพื้นฐานขนาดใหญ่ของภาครัฐ โดยเฉพาะอย่างยิ่งโครงการเมกะโปรเจกต์ที่มีการก่อสร้าง ต่อเนื่อง และก่อสร้างโครงการใหม่ รวมถึงการลงทุนก่อสร้างภาคเอกชนทั้ง โครงการที่อยู่อาศัยและอสังหาริมทรัพย์เพื่อการพาณิชย์ [1-2] ในปี 2022 ปริมาณการบริโภคปูนซีเมนต์ในประเทศไทยอยู่ในระดับ 35.1 ล้านตัน และการส่งออกปูนซีเมนต์และปูนเม็ด มีแนวโน้มอยู่ที่ 12.4 ล้านตัน ตามการฟื้น ตัวของเศรษฐกิจของประเทศคู่ค้าหลัก ได้แก่ กัมพูชา บังกลาเทศ ออสเตรเลีย และสหรัฐอเมริกา [3] สำหรับในมิติด้านพลังงานอุตสาหกรรม ปูนซีเมนต์ถือได้ว่าเป็นอุตสาหกรรมที่มีการใช้พลังงานในปริมาณค่อนข้างสูง ซึ่งใช้พลังงานความร้อนถึง 1,400-1,500 องศาเซลเซียส ในการผลิตปูนเม็ด

และการใช้เชื้อเพลิงในการขนส่ง ซึ่งทุก ๆ 1 ตันของการผลิตปูนซีเมนต์ คาดว่ามีการปล่อยก๊าซคาร์บอนไดออกไซด์ (CO<sub>2</sub>) สู่บรรยากาศราว ๆ 1 ตัน โดยปริมาณก๊าซ CO<sub>2</sub> จากอุตสาหกรรมปูนซีเมนต์คิดเป็นร้อยละ 5-7 ของทั้งหมดที่ปล่อยออกสู่ชั้นบรรยากาศของโลก เป็นสาเหตุสำคัญของภาวะโลกร้อนและการเปลี่ยนแปลงสภาพภูมิอากาศ ซึ่งก่อให้เกิดผลกระทบเป็นวงกว้างแทบจะทุกพื้นที่ทั่วโลก [4-5] ในประเทศไทยมีการวิจัยและพัฒนาวัสดุปอซโซลานแทนที่ปูนซีเมนต์บางส่วน เพื่อใช้ในงานคอนกรีต หรือผลิตวัสดุก่อสร้างอย่างแพร่หลาย ตัวอย่างเช่น เถ้าถ่านหิน เถ้าแกลบ-เปลือกไม้ ซิลิกาฟุ้ง เถ้าปาล์มน้ำมัน หรือเถ้าขานอ้อย เพื่อลดปริมาณการใช้ปูนซีเมนต์ [6-10] จากการศึกษาวิจัยที่ผ่านมาพบว่า เถ้าปาล์มน้ำมันเป็นวัสดุปอซโซลานชนิดหนึ่งที่สามารถนำมาแทนที่ปูนซีเมนต์บางส่วนได้ดี หากมีการควบคุมการปรับปรุงคุณภาพ โดยการบดให้มีความละเอียดมากขึ้น หรือมีการแทนที่ในปริมาณที่เหมาะสม ตามมาตรฐานผลิตภัณฑ์อุตสาหกรรม เถ้าปาล์มน้ำมันใช้เป็นวัสดุผสมคอนกรีต (มอก. 2888-2561, 2562) [11] โดยทั่วไปไม่เกินร้อยละ 30 โดยน้ำหนักของวัสดุประสาน สามารถเพิ่มสมบัติที่ดีด้านความคงทนของคอนกรีต เช่น Sata และคณะ [7] ได้ศึกษาคอนกรีตที่ใช้เถ้าปาล์มน้ำมันเป็นวัสดุประสานแทนที่ปูนซีเมนต์บางส่วน ผลการทดสอบพบว่า คอนกรีตที่ใช้เถ้าปาล์มน้ำมันบดละเอียดแทนที่ในอัตรา ร้อยละ 30 โดยน้ำหนักของวัสดุประสาน สามารถลดความร้อนภายในคอนกรีตได้ดีกว่าคอนกรีตควบคุม นอกจากนี้ Tangchirapat และ Jaturapitakkul [12] ได้ศึกษาการซึมผ่านน้ำของคอนกรีตที่ใช้เถ้าปาล์ม น้ำมันบดละเอียดแทนที่ในอัตราร้อยละ 10, 20 และ 30 โดยน้ำหนักของ วัสดุประสาน ผลการทดสอบพบว่า เถ้าปาล์มน้ำมันมีส่วนช่วยในการลดการ ซึมผ่านน้ำได้ดีกว่าคอนกรีตควบคุม ต่อมา Kroehong และคณะ [13] ได้ ศึกษาการใช้เถ้าปาล์มน้ำมันแทนที่ปูนซีเมนต์ ในอัตราร้อยละ 10, 20, 30 และ 40 โดยน้ำหนักของวัสดุประสาน ควบคุมอัตราน้ำต่อวัสดุประสาน เท่ากับ 0.35 ผลการทดสอบพบว่า ความละเอียดของเถ้าปาล์มน้ำมัน มีผล ต่อกำลังอัดของซีเมนต์เพสต์ ซึ่งเป็นผลมาจากปฏิกิริยาปอซโซลานมากกว่า การเติมเติมช่องว่างของอนุภาควัสดุ (Filler Effect)

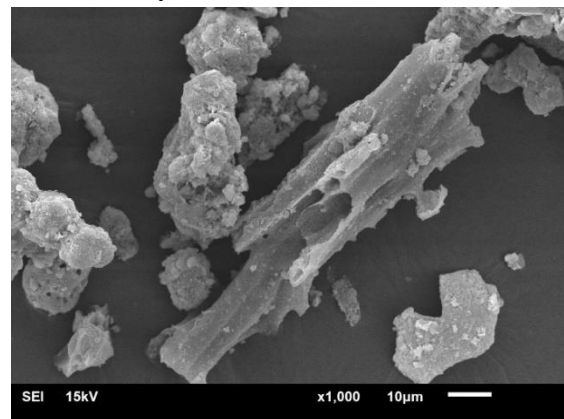
แม้ว่าปัจจุบันจะมีงานวิจัยการใช้เถ้าปาล์มน้ำมันเพื่อแทนที่ปูนซีเมนต์ บางส่วน แต่งานวิจัยส่วนใหญ่เป็นเพียงงานวิจัยที่พิจารณาถึงคุณสมบัติ เบื้องต้นของมอร์ตาร์หรือคอนกรีตที่แทนที่ปูนซีเมนต์ในอัตราส่วนไม่เกิน ร้อยละ 50 โดยน้ำหนักของวัสดุประสาน อีกทั้งการใช้จริงในอุตสาหกรรม การผลิตคอนกรีตยังไม่แพร่หลายมากนัก ต่างจากการใช้เถ้าถ่านหินซึ่งใน ปัจจุบันเป็นที่ยอมรับและมีการใช้งานกันในปัจจุบัน เช่น ปูนซีเมนต์ไฮดรอลิก (มอก. 2594-2556, 2556) [14] ดังนั้นงานวิจัยฉบับนี้จึงมีวัตถุประสงค์ เพื่อศึกษาความเป็นไปได้ในการนำเถ้าปาล์มน้ำมันบดละเอียด แทนที่ ปูนซีเมนต์ปอร์ตแลนด์ประเภทที่ 1 ในปริมาณสูง เพื่อผลิตซีเมนต์มอร์ตาร์ ในอัตราร้อยละ 50, 60 และ 70 โดยน้ำหนักของวัสดุประสาน โดยศึกษา ผลของความต้องการน้ำและกำลังอัด เปรียบเทียบกับซีเมนต์มอร์ตาร์ที่มี ปูนซีเมนต์ปอร์ตแลนด์ประเภทที่ 1 เป็นวัสดุประสานเพียงอย่างเดียว ทั้งนี้ ยังมีการพิจารณาเรื่องความคุ้มค่าและผลต่อสิ่งแวดล้อม เพื่อให้ได้วัสดุ ประสานที่มีต้นทุนต่ำและเป็นมิตรต่อสิ่งแวดล้อม นอกจากเป็นการนำวัสดุ

เหลือทิ้งมาพัฒนาเป็นผลิตภัณฑ์วัสดุก่อสร้างแล้ว ยังเป็นการเพิ่มมูลค่า ให้แก่ของเหลือทิ้ง อีกทั้งยังเป็นการช่วยจัดการของเสียจากโรงงาน อุตสาหกรรมต่อไป

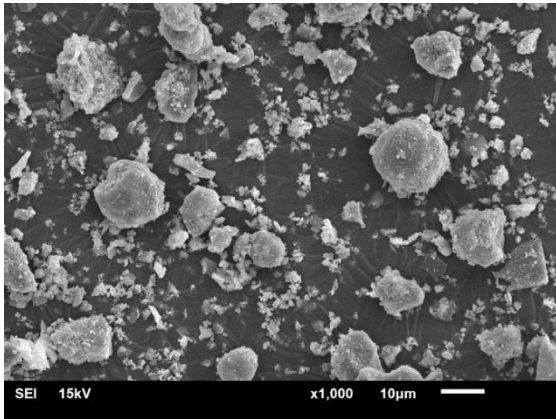
## 2. วิธีการศึกษา

### 2.1 วัสดุที่ใช้ในการศึกษา

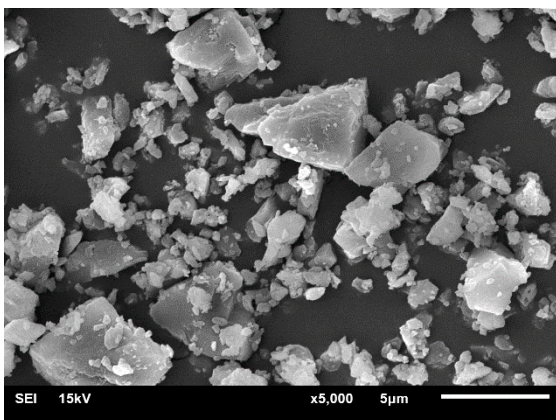
2.1.1 เถ้าปาล์มน้ำมันบดละเอียด (GPOFA) โดยเถ้าปาล์มน้ำมันจาก โรงงาน (OPOFA) ที่ใช้ในการวิจัยครั้งนี้ได้มาจากโรงงานผลิตน้ำมันปาล์มใน จังหวัดสุราษฎร์ธานี ลักษณะทั่วไปของ OPOFA ก่อนบดมีขนาดอนุภาค เฉลี่ย (Mean Particle Size,  $d_{50}$ ) เท่ากับ 73.9 ไมโครเมตร มีสีดำปนเทา เนื้อเถ้าหยาบ ไม่มีรูปทรงชัดเจน รูปที่ 1 (a) หลังจากนำ OPOFA ไปทำให้ แห้งโดยใช้ตู้อบที่อุณหภูมิ 110±5 องศาเซลเซียส เป็นเวลา 24 ชั่วโมง และ ผ่านการบดละเอียดด้วยเครื่องบดแบบตกรกระทบ (Los Angeles abrasion machine) เป็นเวลาไม่น้อยกว่า 6 ชั่วโมง จะได้ GPOFA ที่มีขนาดอนุภาค เฉลี่ย (Mean Particle Size,  $d_{50}$ ) เท่ากับ 7.7 ไมโครเมตร โดยการกระจาย ตัวของอนุภาคของ OPOFA และ GPOFA แสดงในรูปที่ 2 ซึ่งลักษณะทั่วไป ของ GPOFA มีสีดำสนิท เนื้อเถ้ามีขนาดเล็กละเอียด รูปที่ 1 (b) มี องค์ประกอบทางเคมี คือ ซิลิคอนไดออกไซด์ (SiO<sub>2</sub>), อะลูมิเนียมออกไซด์ (Al<sub>2</sub>O<sub>3</sub>) และเฟอร์ริกออกไซด์ (Fe<sub>2</sub>O<sub>3</sub>) เท่ากับร้อยละ 57.6, 1.2 และ 2.8 ตามลำดับ ซึ่งมีผลรวมทั้ง 3 องค์ประกอบ เท่ากับร้อยละ 61.6 แสดงใน ตารางที่ 1 เมื่อพิจารณาคุณลักษณะทางเคมีของ GPOFA พบว่าอยู่ในเกณฑ์ ชั้นคุณภาพที่ 1 ตามมาตรฐาน สำนักงานมาตรฐานผลิตภัณฑ์อุตสาหกรรม เถ้าปาล์มน้ำมันใช้เป็นวัสดุผสมคอนกรีต (มอก. 2888-2561) [11] เนื่องจากมีผลรวมขององค์ประกอบหลัก SiO<sub>2</sub>+Al<sub>2</sub>O<sub>3</sub>+Fe<sub>2</sub>O<sub>3</sub> มากกว่า ร้อยละ 50 มีแคลเซียมออกไซด์ (CaO) ไม่เกินร้อยละ 10 และมีค่าการ สูญเสียน้ำหนักเนื่องจากการเผา (Loss on Ignition, LOI) ไม่เกินร้อยละ 12 ตามมาตรฐาน มอก. 2888-2561 นอกจากนี้ เมื่อพิจารณาประเภทของ วัสดุปอซโซลานตามมาตรฐาน ASTM C618 [15] พบว่า GPOFA อยู่ใน ประเภทของวัสดุปอซโซลาน Class C ซึ่งมีผลรวมของ SiO<sub>2</sub>, Al<sub>2</sub>O<sub>3</sub> และ Fe<sub>2</sub>O<sub>3</sub> ไม่ต่ำกว่าร้อยละ 50 ในขณะที่มีค่า LOI เกินร้อยละ ตามมาตรฐาน ASTM C618 [15] อยู่เล็กน้อย



(a) เถ้าปาล์มน้ำมันจากโรงงาน (OPOFA) กำลังขยาย 1,000 เท่า



(b) เถ้าปาล์มน้ำมันบดละเอียด (GPOFA) กำลังขยาย 1,000 เท่า



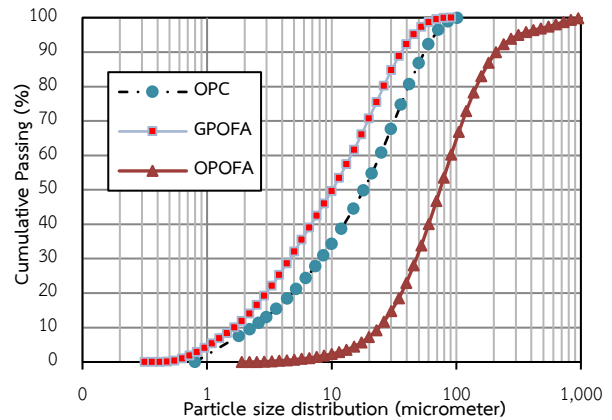
(c) ปูนซีเมนต์ปอร์ตแลนด์ประเภทที่ 1 (OPC) กำลังขยาย 5,000 เท่า [6]  
รูปที่ 1 ภาพถ่ายขยายอนุภาค

ตารางที่ 1 สมบัติทางกายภาพ และสมบัติทางเคมีของ ปูนซีเมนต์ปอร์ตแลนด์ (OPC) และ เถ้าปาล์มน้ำมันบดละเอียด (GPOFA)

Materials		OPC	GPOFA
Physical Properties	Specific gravity	3.16	2.65
	Median particle size, $d_{50}$ ( $\mu\text{m}$ )	18.1	7.7
Chemical Composition (%)	Silicon dioxide ( $\text{SiO}_2$ )	20.0	57.6
	Aluminum oxide ( $\text{Al}_2\text{O}_3$ )	4.6	1.2
	Ferric oxide ( $\text{Fe}_2\text{O}_3$ )	3.4	2.8
	Calcium oxide ( $\text{CaO}$ )	62.6	9.6
	Magnesium oxide ( $\text{MgO}$ )	1.2	4.7
	Potassium oxide ( $\text{K}_2\text{O}$ )	2.7	8.7
	Sodium oxide ( $\text{Na}_2\text{O}$ )	0.3	0.1
	Sulfur trioxide ( $\text{SO}_3$ )	2.4	2.2
	Phosphorus Oxide ( $\text{P}_2\text{O}_5$ )	-	5.5
	Chlorine (Cl)	-	1.1
	Loss on ignition (LOI)	2.8	6.5
$\text{SiO}_2 + \text{Al}_2\text{O}_3 + \text{Fe}_2\text{O}_3$		-	61.6

2.1.2 ปูนซีเมนต์ปอร์ตแลนด์ประเภทที่ 1 (OPC) มีองค์ประกอบทางเคมีที่ตรงตามเกณฑ์มาตรฐาน ASTM C150 [16] โดยมีองค์ประกอบหลักทางเคมี คือ  $\text{CaO}$  และ  $\text{SiO}_2$  มีค่าร้อยละ 62.6 และ 20.0 ตามลำดับ

ในขณะที่ค่า LOI ร้อยละ 2.8 โดยทั่วไปมีสีเทาเข้ม เนื้อละเอียด มีลักษณะรูปร่างไม่แน่นอน เป็นเหลี่ยมมุม มีอนุภาคเล็กๆ เกะกะเป็นก้อนใหญ่ ดังแสดงในรูปที่ 1 (c) [6] มีขนาดอนุภาคเฉลี่ย (Mean Particle Size,  $d_{50}$ ) เท่ากับ 18.1 ไมโครเมตร โดยสมบัติทางเคมี และการกระจายตัวของอนุภาค ของ OPC แสดงในตารางที่ 1 และรูปที่ 2 ตามลำดับ



รูปที่ 2 การกระจายตัวของอนุภาคปูนซีเมนต์ปอร์ตแลนด์ประเภทที่ 1 (OPC) เถ้าปาล์มน้ำมันบดละเอียด (GPOFA) และเถ้าปาล์มน้ำมันจากโรงงาน (OPOFA)

2.1.3 มวลรวมละเอียด ที่ใช้ในการศึกษาเป็นทรายแม่น้ำ ที่ร่อนผ่านตะแกรงมาตรฐานเบอร์ 30 ค้างตะแกรงมาตรฐาน 100 โดยมีสมบัติทางกายภาพ ได้แก่ ค่าโมดูลัสความละเอียด ตามมาตรฐาน ASTM C33 [17] ค่าความถ่วงจำเพาะอิมตัวผิวแห้ง และค่าการดูดซึมน้ำ ตามมาตรฐาน ASTM C128 [18] แสดงดังตารางที่ 2 โดยมีค่าโมดูลัสความละเอียดเท่ากับ 2.78 ค่าความถ่วงจำเพาะอิมตัวผิวแห้งเท่ากับ 2.62 และค่าการดูดซึมน้ำเท่ากับร้อยละ 1.10 โดยมีมวลรวมละเอียด อยู่ในสภาวะอิมตัวผิวแห้ง (SSD) ก่อนผสม

ตารางที่ 2 สมบัติจำเพาะของมวลรวม

Properties	Fineness modulus	Specific gravity	Water absorption (%)
River Sand	2.78	2.62	1.10

2.2 การเตรียมตัวอย่างและการทดสอบมอร์ตาร์

การเตรียมตัวอย่างในการศึกษานี้ใช้อัตราส่วนวัสดุประสานต่อมวลรวมละเอียด 1:2.75 โดยน้ำหนัก แทนที่ OPC ด้วย GPOFA ในอัตราส่วนร้อยละ 0, 20, 50, 60 และ 70 โดยน้ำหนักของวัสดุประสาน ใช้อัตราส่วนน้ำต่อวัสดุประสาน (W/B) จากการทดสอบการไหลแผ่ของมอร์ตาร์ (Flow Test) ตามมาตรฐาน ASTM C1437 [19] โดยใช้อัตราส่วนน้ำต่อวัสดุประสานที่ทำให้การไหลแผ่อยู่ในช่วงร้อยละ  $110 \pm 5$  [20-23] ดังแสดงในตารางที่ 3 จากนั้นหล่อตัวอย่างขนาด  $50 \times 50 \times 50$  มิลลิเมตร ถอดแบบเมื่อมอร์ตาร์มีอายุ 24 ชั่วโมง นำตัวอย่างไปบ่มน้ำสะอาด และทดสอบกำลังอัดของมอร์ตาร์ ตามมาตรฐาน ASTM C109 [24] ที่อายุ 1, 3, 7, 28 และ 90 วัน โดยค่ากำลังอัดของมอร์ตาร์ได้มาจากค่าเฉลี่ยของ 5 ตัวอย่าง ซึ่งค่า

กำลังอัดของแต่ละตัวอย่างที่ต้องไม่เกินร้อยละ 8.7 ของค่าเฉลี่ย ตามที่กำหนดโดย ASTM C109 [24]

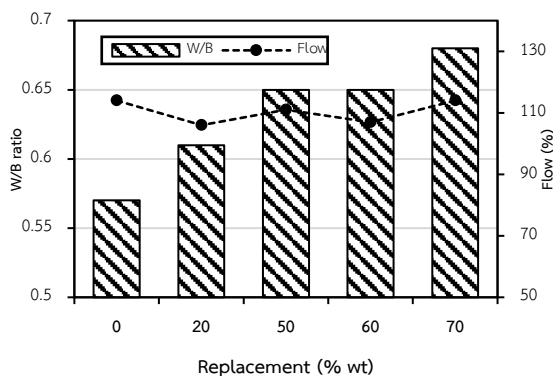
ตารางที่ 3 อัตราส่วนผสมของมอร์ตาร์

Sample	Mix Proportion by Weight (g)				Flow (%)
	Cement	GPOFA	Sand	W/B	
CT	100	-	275	0.57	114
20GPOFA	80	20	275	0.61	106
50GPOFA	50	50	275	0.65	111
60GPOFA	40	60	275	0.65	107
70GPOFA	30	70	275	0.68	114

### 3. ผลการวิจัยและวิเคราะห์ผล

#### 3.1 ความต้องการน้ำของมอร์ตาร์

ตารางที่ 3 แสดงความต้องการน้ำของมอร์ตาร์ที่แทนที่ OPC ด้วย GPOFA ในอัตราส่วนร้อยละ 0, 20, 50, 60 และ 70 โดยน้ำหนักวัสดุประสาน พบว่าความต้องการน้ำของมอร์ตาร์ที่ทำให้มอร์ตาร์มีค่าการไหลแม้อยู่ในช่วงร้อยละ 110±5 มีค่าเพิ่มขึ้น เมื่อมีการแทนที่ OPC ด้วย GPOFA ในปริมาณที่มากขึ้น โดยมอร์ตาร์ควบคุม (CT) ใช้อัตราส่วนน้ำต่อวัสดุประสานที่ 0.57 ในขณะที่มอร์ตาร์ที่ผสม GPOFA อัตราส่วนร้อยละ 20, 50, 60 และ 70 โดยน้ำหนักวัสดุประสาน (20GPOFA, 50GPOFA, 60GPOFA และ 70GPOFA) ใช้อัตราส่วนน้ำต่อวัสดุประสานที่สูงขึ้นเพื่อให้มีการไหลแม้อยู่ในช่วง 110±5 โดยมีอัตราส่วนน้ำต่อวัสดุประสานเท่ากับ 0.61, 0.65, 0.65 และ 0.68 ตามลำดับ หรือใช้อัตราส่วนน้ำต่อวัสดุประสานเท่ากัน แต่มีค่าการไหลแม้อยู่ต่ำกว่าเล็กน้อย เมื่อใช้ปริมาณการแทนที่ที่เท่ากัน ดังแสดงในรูปที่ 3 เนื่องจากเถ้าปาล์มน้ำมันมีรูปร่างที่กลมสลับกับขรุขระ และมีความพรุนบางส่วน [7-9, 12-13, 25] เช่น มอร์ตาร์ที่ผสมเถ้าปาล์มน้ำมันบดละเอียด ร้อยละ 50 และ 60 โดยน้ำหนักวัสดุประสาน (50GPOFA และ 60GPOFA) เนื่องจากอนุภาคของเถ้าปาล์มน้ำมันที่มีขนาดอนุภาคเฉลี่ยเล็กกว่า OPC ส่งผลให้ GPOFA มีพื้นที่ผิวมากกว่า OPC ทำให้มีความต้องการน้ำเพิ่มขึ้น เมื่อมีน้ำหนักเท่ากัน เช่นเดียวกับวัสดุปอซโซลานที่เป็นเถ้าชีวมวลอื่น ๆ เช่น เถ้าแกลบ และเถ้าขานอ้อย [8-9, 26-27]



รูปที่ 3 ผลของร้อยละการแทนที่เถ้าปาล์มน้ำมันต่ออัตราส่วนน้ำต่อวัสดุประสานและการไหล

#### 3.2 กำลังอัดของมอร์ตาร์

ตารางที่ 4 แสดงผลการทดสอบค่ากำลังอัดของมอร์ตาร์ผสมเถ้าปาล์มน้ำมันบดละเอียด (GPOFA) แทนที่ปูนซีเมนต์ปอร์ตแลนด์ประเภทที่ 1 (OPC) ในอัตราส่วนร้อยละ 0, 20, 50, 60 และ 70 โดยน้ำหนักของวัสดุประสาน (CT, 20GPOFA, 50GPOFA, 60GPOFA และ 70GPOFA) ผลการทดสอบพบว่ามอร์ตาร์ควบคุม (CT) ที่อายุการบ่ม 1, 3, 7, 28 และ 90 วัน มีค่ากำลังอัดเฉลี่ยเท่ากับ 15.1, 27.6, 31.5, 39.1 และ 47.4 เมกะปาสคาลตามลำดับ ซึ่งมีค่าสอดคล้องกับมอร์ตาร์ควบคุมจากงานวิจัยที่ผ่านมา [20, 28-29] เมื่อพิจารณาดัชนีกำลังของเถ้าปาล์มน้ำมันบดละเอียดแทนที่ปูนซีเมนต์ปอร์ตแลนด์ประเภทที่ 1 ที่ร้อยละ 20 ของน้ำหนักวัสดุประสานพบว่ามอร์ตาร์ 20GPOFA มีค่าดัชนีกำลังเพิ่มขึ้นตามอายุการบ่มที่เพิ่มขึ้นเมื่อเปรียบเทียบกับมาตรฐาน มอก. 2888-2561 [11] ระบุว่าดัชนีกำลังเมื่อเทียบกับปูนซีเมนต์ปอร์ตแลนด์ประเภทที่ 1 ที่อายุการบ่มที่ 7 และ 28 วัน จะต้องมียุทธศาสตร์กำลังไม่น้อยกว่าร้อยละ 75 สำหรับชั้นคุณภาพที่ 1 และไม่น้อยกว่าร้อยละ 70 สำหรับชั้นคุณภาพที่ 2 ของมอร์ตาร์ CT เมื่อนำผลการทดสอบมาเปรียบเทียบกับค่ากำลังอัดของมอร์ตาร์ 20GPOFA มีค่ากำลังอัดเป็นร้อยละ 81 และ 86 ของมอร์ตาร์ CT ที่อายุการบ่มที่ 7 และ 28 วัน ซึ่งสอดคล้องกับข้อกำหนดตามมาตรฐาน ASTM C 618 [15]

ตารางที่ 4 กำลังอัดของมอร์ตาร์

Sample	Compressive Strength (MPa)				
	(Normalized compressive strength) (%)				
	1 Day	3 Days	7 Days	28 Days	90 Days
CT	15.1±0.71 (100)	27.6±0.48 (100)	31.5±0.27 (100)	39.1±0.16 (100)	47.4±0.51 (100)
20GPOFA	10.4±0.4 (3 (69))	19.9±0.36 (72)	25.6±0.52 (81)	33.4±0.28 (86)	43.7±0.26 (92)
50GPOFA	5.7±0.22 (38)	14.5±0.15 (53)	21.4±1.49 (68)	30.1±0.52 (77)	37.5±0.46 (79)
60GPOFA	2.7±0.08 (18)	10.2±0.65 (37)	15.1±0.10 (48)	23.9±0.14 (61)	30.8±0.18 (65)
70GPOFA	1.7±0.06 (11)	7.1±0.27 (26)	9.1±0.18 (29)	16.1±0.23 (41)	23.9±0.33 (50)

สำหรับมอร์ตาร์ที่ผสมเถ้าปาล์มน้ำมันบดละเอียดในปริมาณสูง (50GPOFA, 60GPOFA และ 70GPOFA) มีกำลังอัดลดลงเมื่อแทนที่เถ้าปาล์มน้ำมันในปริมาณที่สูงขึ้น โดยที่อายุ 1, 3 และ 7 วัน มอร์ตาร์ 50GPOFA, 60GPOFA และ 70GPOFA มีกำลังอัดอยู่ในช่วงระหว่าง 1.7 ถึง 21.4 เมกะปาสคาล หรือคิดเป็นร้อยละ 11 ถึง 68 ของมอร์ตาร์ CT เนื่องจากมอร์ตาร์ที่ผสมเถ้าปาล์มน้ำมันบดละเอียดในปริมาณสูง มีปริมาณของ OPC ลดลงอย่างมาก ส่งผลให้การทำให้ปอซโซลานระหว่างแคลเซียมไฮดรอกไซด์ (Ca(OH)<sub>2</sub>) จากปฏิกิริยาไฮเดรชันกับซิลิโคนไดออกไซด์ (SiO<sub>2</sub>) และอลูมินาไดรอกไซด์ (Al<sub>2</sub>O<sub>3</sub>) ที่เป็นองค์ประกอบหลักของ GPOFA เกิดขึ้นน้อย ส่งผลให้การพัฒนากำลังอัดในระยะต้นซึ่งเกิดจากปฏิกิริยาปอซโซลานในช่วงอายุ 1, 3 และ 7 วัน มีค่าน้อยกว่ามอร์ตาร์ CT ค่อนข้างมาก [25, 30] นอกจากนี้เห็นได้ชัดว่าเมื่อทำการแทนที่ปูนซีเมนต์ด้วยเถ้าปาล์มน้ำมันในปริมาณที่สูงขึ้นส่งผลให้มอร์ตาร์มีความต้องการน้ำมากขึ้นเพื่อให้มอร์ตาร์มีค่าการไหลแม้อยู่ในช่วงมาตรฐาน ซึ่งส่งผล

ให้มอร์ตาร์มีค่าอัตราส่วน W/B สูงขึ้นเป็นส่งผลต่อการพัฒนาของกำลังอัดต่อมามีมอร์ตาร์มีอายุ 28 และ 90 วัน มอร์ตาร์ 50GPOFA, 60GPOFA และ 70GPOFA มีกำลังอัดเท่ากับ 30.1, 23.9, และ 16.1 เมกะปาสคาล หรือคิดเป็นร้อยละ 77, 61 และ 41 ของมอร์ตาร์ CT ตามลำดับ และสามารถพัฒนากำลังอัดเท่ากับ 37.5, 30.8 และ 23.9 เมกะปาสคาล หรือคิดเป็นร้อยละ 79, 65 และ 50 ของมอร์ตาร์ CT ตามลำดับ เนื่องจากปฏิกิริยาปอซโซลานซึ่งเป็นปฏิกิริยาที่เกิดขึ้นต่อเนื่องจากปฏิกิริยาไฮเดรชันซึ่งได้ผลผลิตของปฏิกิริยาเป็นสารประกอบแคลเซียมซิลิเกตไฮเดรตหรือ C-S-H จากการทำปฏิกิริยา โดย C-S-H มีคุณสมบัติเป็นตัวประสาน สามารถช่วยในการพัฒนากำลังอัดที่อายุ 28 และ 90 วัน ได้มากขึ้น นอกจากนี้การแทนที่ OPC ด้วย GPOFA ( $d_{50}=7.7 \mu\text{m}$ ) ซึ่งมีขนาดอนุภาคเล็กกว่า OPC ( $d_{50}=18.1 \mu\text{m}$ ) ถึง 2.35 เท่า มีส่วนในการช่วยให้เนื้อมอร์ตาร์มีความแน่นขึ้น เพราะอนุภาคที่มีขนาดเล็กของ GPOFA สามารถแทรกเข้าไปในช่องว่างระหว่างช่องว่าง (Filler material) ของอนุภาคของเพสต์ และมวลรวมละเอียดได้ดียิ่งขึ้น

อย่างไรก็ตามเมื่อพิจารณาตามข้อกำหนดของมาตรฐาน สำนักงานมาตรฐานผลิตภัณฑ์อุตสาหกรรม ถ้าปาล์มน้ำมันใช้เป็นวัสดุผสมคอนกรีต (มอก. 2888-2561) [11] และข้อกำหนดตามมาตรฐาน ASTM C 618 [15] ซึ่งระบุดัชนีกำลัง (แทนที่ร้อยละ 20) เมื่อเทียบกับปูนซีเมนต์ปอร์ตแลนด์ประเภทที่ 1 ที่อายุการบ่มที่ 7 และ 28 วัน จะต้องมียุคกำลังอัดไม่น้อยกว่าร้อยละ 75 ของมอร์ตาร์ CT เมื่อนำผลการทดสอบมาเปรียบเทียบปรากฏว่าค่ากำลังอัดของมอร์ตาร์ 50GPOFA มีค่ากำลังอัดเป็นร้อยละ 68 และ 77 ของมอร์ตาร์ CT ตามลำดับ และสามารถพัฒนากำลังอัดคิดเป็นร้อยละ 79 ของมอร์ตาร์ CT ที่อายุ 90 วัน ในขณะที่มีปริมาณ OPC เพียงร้อยละ 50 โดยน้ำหนักของวัสดุประสานเท่านั้น

### 3.3 การประเมินราคาวัสดุของมอร์ตาร์

**ตารางที่ 5** แสดงการเปรียบเทียบราคามอร์ตาร์ที่ผสมเถ้าปาล์มน้ำมันบดละเอียดในปริมาณสูง 1 ลูกบาศก์เมตร โดยราคาวัสดุของการผลิตมอร์ตาร์ที่ผสมเถ้าปาล์มน้ำมันบดละเอียดในปริมาณสูง 1 ลูกบาศก์เมตร ประกอบด้วย OPC เท่ากับ 3,300 บาท/ตัน (165 บาท ต่อ ปูนซีเมนต์ 1 กระสอบ) ในขณะที่ GPOFA ซึ่งมีค่าการขนส่ง, ค่าแรงงานขนย้าย (ระยะทางไม่เกิน 200 กิโลเมตร) และค่าพลังงานในการบด ประมาณ 522 บาท/ตัน มวลรวมละเอียด 460 บาท/ตัน และน้ำสะอาด 32 บาท/ตัน (1 USD=34.80 บาท) [10, 31] จากการประเมินราคา พบว่ามอร์ตาร์ CT มีราคาเท่ากับ 2,062 บาท/ลูกบาศก์เมตร ในขณะที่มอร์ตาร์ 20GPOFA, 50GPOFA, 60GPOFA และ 70GPOFA มีราคาเท่ากับ 1,813, 1,439, 1,314 และ 1,189 บาท/ลูกบาศก์เมตร ตามลำดับ ผลการวิจัยแสดงให้เห็นว่าราคารวมวัสดุของมอร์ตาร์ลดลงเมื่อปริมาณของ GPOFA เพิ่มขึ้น หรือคิดเป็นร้อยละ 88, 70, 64 และ 58 ของมอร์ตาร์ CT ตามลำดับ โดยมอร์ตาร์ที่ผสมเถ้าปาล์มน้ำมันบดละเอียดในปริมาณสูง 50GPOFA, 60GPOFA และ 70GPOFA สามารถลดต้นทุนราคาในการผลิตได้ประมาณร้อยละ 30-42 เมื่อเทียบกับคอนกรีต CT

**ตารางที่ 5** ราคาวัสดุของมอร์ตาร์ 1 ลูกบาศก์เมตร

Sample	Mix proportion, kg/m <sup>3</sup> (Baht/kg)				Baht/ m <sup>3</sup>	Cost Reduction (%)
	OPC	GPOFA	Fine agg.	Water		
CT	450 (3.30)	-	1,237.5 (0.46)	256.5 (0.03)	2,062	-
20GPOFA	360 (3.30)	90 (0.52)	1,237.5 (0.46)	274.5 (0.03)	1,813	12
50GPOFA	225 (3.30)	225 (0.52)	1,237.5 (0.46)	292.5 (0.03)	1,439	30
60GPOFA	180 (3.30)	270 (0.52)	1,237.5 (0.46)	292.5 (0.03)	1,314	36
70GPOFA	135 (3.30)	315 (0.52)	1,237.5 (0.46)	306.0 (0.03)	1,189	42

### 3.4 การประเมินผลกระทบต่อสิ่งแวดล้อมของมอร์ตาร์

**ตารางที่ 6** แสดงข้อมูลผลการคำนวณการปล่อยก๊าซคาร์บอนไดออกไซด์ (CO<sub>2</sub>) ของมอร์ตาร์ 1 ลูกบาศก์เมตร โดยปริมาณการปล่อย CO<sub>2</sub> ของ OPC และ GPOFA มีปริมาณเท่ากับ 820.0 และ 106.0 กก. CO<sub>2</sub>/t ตามลำดับ ในขณะที่ส่วนประกอบอื่น ๆ ได้แก่ มวลรวมละเอียด และ น้ำ มีปริมาณการปล่อย CO<sub>2</sub> เท่ากับ 28.0 และ 1.0 kg. CO<sub>2</sub>/t ตามลำดับ [10, 31-33] จากการวิเคราะห์ปริมาณการปล่อย CO<sub>2</sub> ของแต่ละส่วนผสม พบว่ามอร์ตาร์ CT มีปริมาณการปล่อย CO<sub>2</sub> เท่ากับ 403.91 กก. CO<sub>2</sub>/m<sup>3</sup> ในขณะที่มอร์ตาร์ 50GPOFA, 60GPOFA และ 70GPOFA มีปริมาณการปล่อย CO<sub>2</sub> เท่ากับ 339.66, 243.29, 211.16 และ 179.05 กก. CO<sub>2</sub>/m<sup>3</sup> ตามลำดับ หรือคิดเป็นร้อยละ 60, 52 และ 44 ของมอร์ตาร์ CT ตามลำดับ ผลการวิจัยแสดงให้เห็นว่าปริมาณการปล่อย CO<sub>2</sub> มอร์ตาร์ที่ผสมเถ้าปาล์มน้ำมันบดละเอียดในปริมาณสูง ลดลงเมื่อปริมาณของ GPOFA เพิ่มขึ้น โดยมอร์ตาร์ 50GPOFA, 60GPOFA และ 70GPOFA สามารถลดปริมาณการปล่อย CO<sub>2</sub> ได้มากถึงร้อยละ 40, 48 และ 56 ของมอร์ตาร์ CT ตามลำดับ แสดงให้เห็นว่าหากมีการนำเถ้าปาล์มน้ำมันมาใช้แทนที่ปูนซีเมนต์บางส่วน จะสามารถลดการปล่อย CO<sub>2</sub> ที่เกิดจากอุตสาหกรรมปูนซีเมนต์ ซึ่งปล่อย CO<sub>2</sub> สูงถึงร้อยละ 5-7 ของทั้งหมดที่ถูกปล่อยออกสู่ชั้นบรรยากาศของโลก ให้มีปริมาณที่ลดลง [5]

**ตารางที่ 6** การประเมินผลกระทบต่อสิ่งแวดล้อมของมอร์ตาร์ 1 ลูกบาศก์เมตร

Sample	CO <sub>2</sub> Emission (kg.CO <sub>2</sub> )				CO <sub>2</sub> Emission (kg.CO <sub>2</sub> /m <sup>3</sup> )	CO <sub>2</sub> Emission Reduce (%)
	OPC	GPOFA	Fine agg.	Water		
CT	369.00	-	34.65	0.26	403.91	-
20GPOFA	295.20	9.54	34.65	0.27	339.66	16
50GPOFA	184.50	23.85	34.65	0.29	243.29	40
60GPOFA	147.60	28.62	34.65	0.29	211.16	48
70GPOFA	110.70	33.39	34.65	0.31	179.05	56

## 4. บทสรุป

1. มอร์ตาร์ที่ผสมเถ้าปาล์มน้ำมันบดละเอียดในปริมาณสูงมีความต้องการน้ำเพิ่มขึ้น เมื่อมีการแทนที่ OPC ด้วย GPOFA ในปริมาณที่มากขึ้น
2. GPOFA สามารถใช้เป็นวัสดุปอซโซลานในปริมาณสูงได้ โดยมอร์ตาร์ 50GPOFA มีค่ากำลังอัดคิดเป็นร้อยละ 77 และ 79 ของมอร์ตาร์

CT ที่อายุ 28 และ 90 วันตามลำดับ ในขณะที่มีปริมาณ OPC เพียงร้อยละ 50 โดยน้ำหนักของวัสดุประสานเท่านั้น

3. มอร์ตาร์ที่ใช้ GPOFA แทนที่ OPC ในปริมาณสูง สามารถลดต้นทุนวัสดุโดยรวมของมอร์ตาร์ ได้ประมาณร้อยละ 30-42 เมื่อเทียบกับมอร์ตาร์ CT

4. มอร์ตาร์ที่ใช้ GPOFA แทนที่ OPC ในปริมาณสูง สามารถลดปริมาณการปล่อย CO<sub>2</sub> ในการผลิตมอร์ตาร์ 1 ลูกบาศก์เมตร ได้มากถึงร้อยละ 40 ถึง 56 เมื่อเทียบกับมอร์ตาร์ CT

5. การใช้ GPOFA แทนที่ในปริมาณร้อยละ 50 (50GPOFA) สามารถพัฒนากำลังได้ถึง 37.5 MPa อายุ 90 วัน โดยสามารถลดต้นทุนได้ถึงร้อยละ 30 และลดการปล่อย CO<sub>2</sub> ได้ถึงร้อยละ 40 ซึ่งอาจนำไปใช้เป็นวัสดุประสานที่มีต้นทุนต่ำ และเป็นมิตรต่อสิ่งแวดล้อม

### กิตติกรรมประกาศ

การวิจัยครั้งนี้ได้รับทุนอุดหนุนการวิจัยประเภทเงินรายได้ จากมหาวิทยาลัยเทคโนโลยีราชมงคลศรีวิชัย ประจำปีงบประมาณ พ.ศ. 2566 คณะผู้วิจัยขอขอบคุณ หลักสูตรวิชาวิศวกรรมโยธา สาขาวิศวกรรมโยธา มหาวิทยาลัยเทคโนโลยีอุตสาหกรรมและการจัดการ มหาวิทยาลัยเทคโนโลยีราชมงคลศรีวิชัย ที่เอื้อเฟื้อห้องปฏิบัติการ เครื่องมือ และอุปกรณ์ในการทดลองวิจัย และขอขอบพระคุณผู้ทรงคุณวุฒิที่กรุณาให้ข้อเสนอแนะที่เป็นประโยชน์ต่อการศึกษาวิจัยในครั้งนี้

### เอกสารอ้างอิง

- [1] วิจัยกรุงศรี (2564). แนวโน้มธุรกิจ/อุตสาหกรรม ปี 2564-66 ธุรกิจวัสดุก่อสร้าง. สืบค้นเมื่อวันที่ 1 กุมภาพันธ์ 2566, เข้าถึงได้จาก <https://www.krungsri.com/th/research/industry/summary-outlook/industry-summary-outlook-2021-2023>
- [2] วิจัยกรุงศรี (2565). แนวโน้มธุรกิจและอุตสาหกรรม ปี 2565-67. สืบค้นเมื่อวันที่ 1 กุมภาพันธ์ 2566, เข้าถึงได้จาก [https://www.krungsri.com/getmedia/07201ab9-d647-4e0e-8f67-7b9b34565c95/SO\\_Industry\\_Outlook\\_2022\\_2024\\_220111\\_TH\\_EX.pdf.aspx](https://www.krungsri.com/getmedia/07201ab9-d647-4e0e-8f67-7b9b34565c95/SO_Industry_Outlook_2022_2024_220111_TH_EX.pdf.aspx)
- [3] EIC Industry Insight (2565). อุตสาหกรรมก่อสร้าง และวัสดุก่อสร้างปี 2022 ยังขยายตัวท่ามกลางต้นทุนปรับตัวสูงขึ้น. สืบค้นเมื่อวันที่ 1 กุมภาพันธ์ 2566, เข้าถึงได้จาก <https://www.scbeic.com/th/detail/product/8311>
- [4] องค์การบริหารจัดการก๊าซเรือนกระจก (องค์การมหาชน) (2562). มาตรการลดการปล่อยก๊าซเรือนกระจกในภาคอุตสาหกรรม. สืบค้นเมื่อวันที่ 1 กุมภาพันธ์ 2566, เข้าถึงได้จาก <https://ghgredution.tgo.or.th/th/download-tver/68-tver-publications/1228-2019-09-30-04-25-05.html>
- [5] Benhelal, E., Zahedi, G., Shamsaei, E., and Bahadori, A. (2013). Global strategies and potentials to curb CO<sub>2</sub>

emissions in cement industry. *Journal of Cleaner Production*, 51, pp. 142-161.

- [6] ทวีช กล้าแท้ Trinh Nhat Ho Tran Sambath Men วีรชาติ ตั้งจิรภัทร และ ชัย จาตุรพิทักษ์กุล. (2565). ผลกระทบของการใช้เถ้าขานอ้อยบดละเอียดแทนที่ปูนซีเมนต์ในปริมาณสูงต่อกำลังอัดโมดูลัสยืดหยุ่นและการหดตัวแบบแห้งของคอนกรีตกำลังสูง. *วารสารวิจัยและพัฒนา มจร.*, 45(1), pp. 43-57.
- [7] Sata, V., Jaturapitakkul, C. and Rattanasotinunt, C. (2010). Compressive Strength and Heat Evolution of Concretes Containing Palm Oil Fuel Ash. *Journal of Materials in Civil Engineering*, 22(10), pp. 1033-1038.
- [8] วิเชียร ซาลี และชัย จาตุรพิทักษ์กุล. (2554). ความสามารถในการกักเก็บคลอไรด์ในคอนกรีตที่ผสมเถ้าแกลบเปลือกไม้ภายใต้สภาวะแวดล้อมทะเล. *วารสารวิจัยและพัฒนา มจร.*, 34(3), หน้า 203-213.
- [9] ชัย จาตุรพิทักษ์กุล และวีรชาติ ตั้งจิรภัทร. (2556). การใช้ประโยชน์จากเถ้าและวัสดุเหลือทิ้งจากโรงงานอุตสาหกรรม เพื่อเป็นวัสดุในงานคอนกรีต. พิมพ์ครั้งที่ 3. กรุงเทพฯ : ภาควิชาวิศวกรรมโยธา คณะวิศวกรรมศาสตร์ มหาวิทยาลัยเทคโนโลยีพระจอมเกล้าธนบุรี.
- [10] Chindaprasit, P., Kroehong, W., Damrongwiriyanupap, N., Suriyo, W. and Jaturapitakkul, C. (2020). Mechanical properties, chloride resistance and microstructure of Portland fly ash cement concrete containing high volume bagasse ash. *Journal of Building Engineering*, 31, pp. 101415.
- [11] สำนักงานมาตรฐานผลิตภัณฑ์อุตสาหกรรม. (2562). มาตรฐานผลิตภัณฑ์อุตสาหกรรม มอก. 2888-2561 เถ้าปาล์มน้ำมันใช้เป็นวัสดุผสมเพิ่มในคอนกรีตที่ใช้ปูนซีเมนต์ปอร์ตแลนด์. กรุงเทพฯ: กระทรวงอุตสาหกรรม.
- [12] Tangchirapat, W. and Jaturapitakkul C. (2010). Strength, Drying Shrinkage, and Water Permeability of Concrete Incorporating Ground Palm Oil Fuel Ash. *Cement and Concrete Composites*, 32(10), pp. 767-774.
- [13] Kroehong W, Sinsiri T, Jaturapitakkul C, Chindaprasit P. (2011). Effect of palm oil fuel ash fineness on the microstructure of blended cement paste. *Construction and Building Materials*. 25(11), pp. 4095-104.
- [14] สำนักงานมาตรฐานผลิตภัณฑ์อุตสาหกรรม. (2556). มาตรฐานผลิตภัณฑ์อุตสาหกรรม มอก. 2594-2556 ปูนซีเมนต์ไฮดรอลิก. กรุงเทพฯ: กระทรวงอุตสาหกรรม.
- [15] American Society for Testing and Materials. (2017). *ASTM C618-17a Standard Specification for Coal Fly Ash and Raw or Calcined Natural Pozzolan for Use in Concrete*. ASTM

- International, West Conshohocken, Philadelphia, United States.
- [16] American Society for Testing and Materials. (2018). *ASTM C150 Standard Specification for Portland Cement*. ASTM International, West Conshohocken, Philadelphia, United States.
- [17] American Society for Testing and Materials. (2018). *ASTM C33 Standard specification for concrete aggregates*. ASTM International, West Conshohocken, Philadelphia, United States.
- [18] American Society for Testing and Materials. (2015). *ASTM C128 Standard Test Method for Relative Density (Specific Gravity) and Absorption of Fine Aggregate*. ASTM International, West Conshohocken, Philadelphia, United States.
- [19] American Society for Testing and Materials. (2007). *ASTM C1437 Standard test method for flow of hydraulic cement mortar*. ASTM International, West Conshohocken, Philadelphia, United States.
- [20] Chusilp, N., Jaturapitakkul, C., and Kiattikomol, K. (2009). Effects of LOI of ground bagasse ash on the compressive strength and sulfate resistance of mortars. *Construction and Building Materials*, 23(12), pp. 3523-3531.
- [21] Kiattikomol, K., Jaturapitakkul, C., Songpiriyakij, S., and Chutubtim, S. (2001). A study of ground coarse fly ashes with different finenesses from various sources as pozzolanic materials. *Cement and concrete composites*, 23(4-5), pp. 335-343.
- [22] Cheerarot, R., and Jaturapitakkul, C. (2004). A study of disposed fly ash from landfill to replace Portland cement. *Waste Management*, 24(7), pp. 701-709.
- [23] Pormmoon, P., Abdulmatin, A., Charoenwaiyachet, C., Tangchirapat, W., and Jaturapitakkul, C. (2021). Effect of cut-size particles on the pozzolanic property of bottom ash. *Journal of Materials Research and Technology*, 10, pp. 240-249.
- [24] American Society for Testing and Materials. (2013). *ASTM C109/C109M Standard test method for compressive strength of hydraulic cement mortars (using 2-in. or [50-mm] cube specimens)*. ASTM International, West Conshohocken, Philadelphia, United States.
- [25] Ul Islam, M.M., Mo, K.H., Alengaram, U.J. and Jumaat, M.Z. (2016). Durability Properties of Sustainable Concrete Containing High Volume Palm Oil Waste Materials. *Journal of Cleaner Production*, 137, pp. 167-177.
- [26] Klathae, T., Tanawuttiphong, N., Tangchirapat, W., Chindaprasirt, P., Sukontasukkul, P. and Jaturapitakkul, C. (2020). Heat evolution, strengths, and drying shrinkage of concrete containing high volume ground bagasse ash with different LOIs. *Construction and Building Materials*, 258, pp.119443.
- [27] Klathae, T., Tran, T.N.H., Men, S., Jaturapitakkul, C. and Tangchirapat, W. (2021). Strength, chloride resistance, and water permeability of high volume sugarcane bagasse ash high strength concrete incorporating limestone powder. *Construction and Building Materials*, 311, pp.125326.
- [28] Rukzon, S., and Chindaprasirt, P. (2008). Strength and Chloride Penetration of Mortar with Mixture Proportioning in Ternary Cementitious System. *KMUTT Research and Development Journal*, 31(4), pp. 659-869.
- [29] สำเร็จ รักซ้อน ปุณยวิจัน วงษ์สุวัต และ ปริญญา จินดาประเสริฐ (2021). กำลั้งอัด การดูดซึมน้ำ และการแทรกซึมคลอไรด์ของมอร์ตาร์ในระบบวัสดุประสานสามชนิดด้วยกากแคลเซียมคาร์ไบด์และเถ้าลอย. *วารสารวิศวกรรมศาสตร์ มหาวิทยาลัยศรีนครินทรวิโรฒ*, 16(2), หน้า 28-37.
- [30] Men, S., Tangchirapat, W., Jaturapitakkul, C., and Ban, C. C. (2022). Strength, fluid transport and microstructure of high-strength concrete incorporating high-volume ground palm oil fuel ash blended with fly ash and limestone powder. *Journal of Building Engineering*, 56, pp. 104714.
- [31] Nisbet, M.A., VanGeem, M.G., Gajda, J. and Marceau, M. (2002). *Environmental life cycle inventory of Portland cement concrete*. Available Source: [http://www.vangeemconsulting.com/73\\_Environmental\\_Life\\_Cycle\\_Inverntory\\_SN\\_2137.pdf](http://www.vangeemconsulting.com/73_Environmental_Life_Cycle_Inverntory_SN_2137.pdf), December 20, 2022.
- [32] Huber Crete. (2015). *Let huber crete calcium carbonate help you produce the brightest white concrete building products possible*. Marble Falls, Texas: Huber Carbonates, LLC. Available Source: <https://www.hubermaterials.com/userfiles/files/PFDocs/Let%20HuberCrete%20Help%20You%20Manufacture%20Superior%20Concrete.pdf>. June 25, 2022.
- [33] Leeuwen, R.V., Kim Y.J. and Sriraman, V. (2016). The effects of limestone powder particle size on the mechanical properties and the life cycle assessment of concrete. *Journal of Civil Engineering Research*, 6(4), pp. 104-113.